

УДК 532.59:539.3:534.1

ПОВЕДЕНИЕ ПЛАВАЮЩЕЙ УПРУГОЙ ПЛАСТИНЫ ПРИ КОЛЕБАНИЯХ УЧАСТКА ДНА

Л. А. Ткачева

Институт гидродинамики им. М. А. Лаврентьева СО РАН, 630090 Новосибирск
E-mail: tkacheva@hydro.nsc.ru

Методом Винера — Хопфа получено аналитическое решение задачи о колебаниях упругой полубесконечной плавающей пластины при колебаниях участка дна, вызванных землетрясением. В явном виде получено решение без учета инерционного члена. Проведено численное исследование амплитуд поверхностных волн и прогиба ледяной пластины от частоты и положения колеблющегося участка дна, толщины льда и глубины жидкости.

Ключевые слова: поверхностные волны, изгибно-гравитационные волны, упругая тонкая пластина, метод Винера — Хопфа.

Введение. Задача о гидроупругом поведении плавающих упругих пластин изучалась ранее применительно к ледяному покрову [1–3]. В настоящее время интерес к этой задаче возрос в связи с проектами построения плавучих аэродромов, искусственных островов и плавающих платформ различного назначения. Гигантские размеры таких объектов затрудняют выполнение критериев подобия при экспериментальных исследованиях, поэтому численное моделирование играет большую роль в их изучении.

Задача дифракции поверхностных волн на плавающей упругой пластине изучена достаточно хорошо. Недостаточно исследовано динамическое поведение плавающей пластины под действием внешней нагрузки (обзор [4]), а также поведение пластины при землетрясении [5]. В работе [5] дно моделируется однородной упругой средой (полупространством), в котором распространяются продольные и поперечные волны от эпицентра землетрясения, а жидкость предполагается сжимаемой невесомой. В настоящей работе изучается поведение упругой полубесконечной пластины, плавающей на поверхности несжимаемой весомой жидкости, при заданных периодических колебаниях дна. Методом Винера — Хопфа построено аналитическое решение данной задачи в плоской постановке.

1. Постановка задачи. Жидкость предполагается идеальной несжимаемой глубины H_0 , а ее течение — безвихревым. Пластина имеет постоянную толщину h и представляет собой полуплоскость. Колебания пластины вызваны периодическими по времени колебаниями дна. Левый край пластины принимается за начало декартовой системы координат Oxy . Будем предполагать, что толщина пластины значительно меньше длины распространяющихся волн в пластине. Используем модель тонких пластин. Осадкой пластины в воду будем пренебрегать, граничные условия сносятся на невозмущенную поверхность воды.

Работа выполнена при финансовой поддержке Российского фонда фундаментальных исследований (код проекта 02-01-00739) и Совета по грантам Президента Российской Федерации для поддержки ведущих научных школ (грант № НШ-902.2003.1).

Потенциал скоростей жидкости φ удовлетворяет уравнению Лапласа и граничным условиям в виде

$$\begin{aligned} \Delta\varphi &= 0 & (-H_0 < y < 0), \\ \varphi_y &= w_t & (y = 0, -H_0), \quad w(x, -H_0, t) = u(x) e^{-i\omega t}, \\ D \frac{\partial^4 w}{\partial x^4} + \rho_0 h \frac{\partial^2 w}{\partial t^2} &= p & (y = 0, x > 0), \\ p &= 0 & (y = 0, x < 0), \quad p = -\rho(\varphi_t + gw). \end{aligned} \quad (1.1)$$

Здесь w — вертикальное смещение верхней поверхности жидкости (пластины); p — гидродинамическое давление; g — ускорение свободного падения; D — цилиндрическая жесткость пластины; ρ, ρ_0 — плотности жидкости и пластины; t — время; ω — частота колебаний дна; $u(x)$ — амплитуда смещений дна. На краю пластины должны обращаться в нуль момент и перерезывающая сила

$$\frac{\partial^2 w}{\partial x^2} = \frac{\partial^3 w}{\partial x^3} = 0 \quad (y = 0, x = 0). \quad (1.2)$$

Рассмотрим сначала случай точечного источника на дне: $u(x) = u_0 \delta(x - x_0)$. Зависимость всех функций от времени выражается множителем $e^{-i\omega t}$. Введем характерную длину $l = g/\omega^2$ и безразмерные переменные

$$x' = \frac{x}{l}, \quad y' = \frac{y}{l}, \quad x_* = \frac{x_0}{l}, \quad H = \frac{H_0}{l}, \quad \varphi' = \frac{\omega\varphi}{gu_0}, \quad w' = \frac{w}{u_0}, \quad t' = \omega t$$

(штрихи в дальнейшем будем опускать). Представим потенциал в виде $\varphi = \phi e^{-it}$. Тогда из (1.1), (1.2) получим краевую задачу для ϕ :

$$\begin{aligned} \frac{\partial^2 \phi}{\partial x^2} + \frac{\partial^2 \phi}{\partial y^2} &= 0 & (-H < y < 0); \\ \frac{\partial \phi}{\partial y} &= -i\delta(x - x_*) & (y = -H); \end{aligned} \quad (1.3)$$

$$\frac{\partial \phi}{\partial y} - \phi = 0 \quad (y = 0, x < 0); \quad (1.4)$$

$$\left(\beta \frac{\partial^4}{\partial x^4} + 1 - d \right) \frac{\partial \phi}{\partial y} - \phi = 0 \quad (y = 0, x > 0), \quad \beta = \frac{D}{\rho g l^4}, \quad d = \frac{\rho_0 h}{\rho l}; \quad (1.5)$$

$$\frac{\partial^2}{\partial x^2} \frac{\partial \phi}{\partial y} = \frac{\partial^3}{\partial x^3} \frac{\partial \phi}{\partial y} = 0 \quad (y = 0, x = 0). \quad (1.6)$$

Здесь H, x_*, β, d — безразмерные параметры задачи: соответственно глубина жидкости и центр колеблющегося участка, приведенные жесткость и осадка пластины. Кроме того, должны выполняться условия излучения при $|x| \rightarrow \infty$ и условия регулярности вблизи кромок (локальная ограниченность энергии).

2. Интегральные уравнения. Решение задачи будем строить методом Винера — Хопфа в интерпретации Джонса [6]. Введем в рассмотрение функции комплексной переменной α

$$\begin{aligned} \Phi_+(\alpha, y) &= \int_0^\infty e^{i\alpha x} \phi(x, y) dx, & \Phi_-(\alpha, y) &= \int_{-\infty}^0 e^{i\alpha x} \phi(x, y) dx, \\ \Phi(\alpha, y) &= \Phi_-(\alpha, y) + \Phi_+(\alpha, y). \end{aligned} \quad (2.1)$$

Функция $\Phi_+(\alpha, y)$ определена в верхней полуплоскости $\text{Im } \alpha > 0$, а функция $\Phi_-(\alpha, y)$ — в нижней полуплоскости $\text{Im } \alpha < 0$. С помощью аналитического продолжения эти функции можно определить во всей комплексной плоскости. Функция $\Phi(\alpha, y)$ представляет собой образ Фурье для функции $\phi(x, y)$ и удовлетворяет уравнению

$$\frac{\partial^2 \Phi}{\partial y^2} - \alpha^2 \Phi = 0.$$

Условие (1.3) на дне преобразуется к виду

$$\frac{\partial \Phi}{\partial y}(\alpha, -H) = -i e^{i\alpha x_*}. \quad (2.2)$$

Ищем решение этого уравнения в виде

$$\Phi(\alpha, y) = C(\alpha)Z(\alpha, y) + S(\alpha) \text{sh}(\alpha(y + H)), \quad Z(\alpha, y) = \text{ch}(\alpha(y + H)) / \text{ch}(\alpha H).$$

Из (2.2) получаем $S(\alpha) = -i e^{i\alpha x_*} / \alpha$. Тогда

$$\Phi(\alpha, y) = C(\alpha)Z(\alpha, y) - i e^{i\alpha x_*} \text{sh}(\alpha(y + H)) / \alpha. \quad (2.3)$$

Обозначим через $D_{\pm}(\alpha)$ интегралы типа (2.1), где функция ϕ под интегралом заменяется левой частью краевого условия (1.4), а через $F_{\pm}(\alpha)$ — аналогичные выражения, в которых в качестве подинтегральной функции берется левая часть выражения (1.5). Введем функции

$$D(\alpha) = D_-(\alpha) + D_+(\alpha), \quad F(\alpha) = F_-(\alpha) + F_+(\alpha),$$

представляющие собой образы Фурье от дисперсионных функций, которые будем понимать в смысле обобщенных функций [7]

$$D(\alpha) = \frac{\partial \Phi}{\partial y}(\alpha, 0) - \Phi(\alpha, 0), \quad F(\alpha) = (\beta \alpha^4 + 1 - d) \frac{\partial \Phi}{\partial y}(\alpha, 0) - \Phi(\alpha, 0).$$

Из краевых условий (1.4) и (1.5) имеем

$$D_-(\alpha) = 0, \quad F_+(\alpha) = 0.$$

Тогда

$$D_+(\alpha) = D(\alpha) = C(\alpha)K_1(\alpha) - i e^{i\alpha x_*} [\text{ch}(\alpha H) - \text{sh}(\alpha H) / \alpha]; \quad (2.4)$$

$$F_-(\alpha) = F(\alpha) = C(\alpha)K_2(\alpha) - i e^{i\alpha x_*} [(\beta \alpha^4 + 1 - d) \text{ch}(\alpha H) - \text{sh}(\alpha H) / \alpha]. \quad (2.5)$$

Здесь $K_1(\alpha) = \alpha \text{th}(\alpha H) - 1$, $K_2(\alpha) = (\beta \alpha^4 + 1 - d) \alpha \text{th}(\alpha H) - 1$ — дисперсионные функции для жидкости со свободной поверхностью и под пластиной. Обе дисперсионные функции четные. Дисперсионное соотношение на свободной поверхности $K_1(\alpha) = 0$ имеет два действительных корня $\pm \gamma$ и счетное множество чисто мнимых корней $\pm \gamma_n$ ($n = 1, 2, \dots$), расположенных симметрично относительно действительной оси [8], $\gamma_n \rightarrow i n \pi / H$ при $n \rightarrow \infty$.

Дисперсионное соотношение под пластиной $K_2(\alpha) = 0$ имеет два действительных корня $\pm \alpha_0$, счетное множество чисто мнимых корней $\pm \alpha_n$ ($n = 1, 2, \dots$), симметричных относительно действительной оси, а также четыре комплексных корня, симметричных относительно действительной и мнимой осей [8]. Обозначим через α_{-1} корень, лежащий в первом квадранте, через α_{-2} — корень во втором квадранте, $\alpha_n \rightarrow i n \pi / H$ при $n \rightarrow \infty$.

Действительные корни дисперсионных соотношений определяют распространяющиеся поверхностные и изгибно-гравитационные волны, остальные корни — краевые волны, экспоненциально затухающие вдали от источника возмущения.

Исследуем поведение функций $\Phi_{\pm}(\alpha, y)$. При $x \rightarrow -\infty$ потенциал ϕ представляет собой волну вида $\text{Re } e^{-i\gamma x}$ и множество экспоненциально затухающих волн. Наименее затухающая

волна соответствует корню γ_1 . Поэтому $\Phi_-(\alpha, y)$ аналитична в полуплоскости $\text{Im } \alpha < |\gamma_1|$ за исключением полюса при $\alpha = \gamma$. При $x \rightarrow \infty$ потенциал ϕ представляет собой волну вида $T e^{i\alpha_0 x}$ и множество экспоненциально затухающих мод. Поэтому функция $\Phi_+(\alpha, y)$ аналитична в полуплоскости $\{\text{Im } \alpha > -c\}$ за исключением полюса в точке $\alpha = -\alpha_0$, где $c = \min \{\text{Im}(\alpha_1), \text{Im}(\alpha_{-1})\}$.

Исключая из соотношений (2.4), (2.5) $C(\alpha)$, получаем уравнение

$$\begin{aligned} [F_-(\alpha) + i e^{i\alpha x^*} [(\beta\alpha^4 + 1 - d) \text{ch}(\alpha H) - \text{sh}(\alpha H)/\alpha]] K(\alpha) = \\ = D_+(\alpha) + i e^{i\alpha x^*} [\text{ch}(\alpha H) - \text{sh}(\alpha H)/\alpha], \quad (2.6) \\ K(\alpha) = K_1(\alpha)/K_2(\alpha). \end{aligned}$$

В соответствии с методом Винера — Хопфа необходимо факторизовать функцию $K(\alpha)$, т. е. представить ее в виде

$$K(\alpha) = K_+(\alpha)K_-(\alpha),$$

где функции $K_{\pm}(\alpha)$ регулярны в тех же областях, что и функции $\Phi_{\pm}(\alpha, y)$. Функция $K(\alpha)$ имеет соответственно нули и полюса на действительной оси в точках $\pm\gamma$ и $\pm\alpha_0$. Поэтому будем рассматривать области аналитичности S_+ и S_- , где S_+ — полуплоскость $\text{Im } \alpha > -c$ с разрезами, исключающими точки $-\alpha_0$ и $-\gamma$; S_- — полуплоскость $\text{Im } \alpha < |\gamma_1|$ с разрезами, исключающими точки α_0 и γ .

Введем функцию

$$g(\alpha) = K(\alpha)\beta(\alpha^2 - \alpha_0^2)(\alpha^2 - \alpha_{-1}^2)(\alpha^2 - \alpha_{-2}^2)/(\alpha^2 - \gamma^2).$$

Функция $g(\alpha)$ на действительной оси не имеет нулей, ограничена и стремится на бесконечности к единице. Факторизуем $g(\alpha)$ следующим образом [6]:

$$g(\alpha) = g_+(\alpha)g_-(\alpha), \quad g_{\pm}(\alpha) = \exp \left[\pm \frac{1}{2\pi i} \int_{-\infty \mp i\sigma}^{\infty \mp i\sigma} \frac{\ln g(x)}{x - \alpha} dx \right], \quad \sigma < |\gamma_1|.$$

Определим функции $K_{\pm}(\alpha)$ по формуле

$$K_{\pm}(\alpha) = \frac{(\alpha \pm \gamma)g_{\pm}(\alpha)}{\sqrt{\beta}(\alpha \pm \alpha_0)(\alpha \pm \alpha_{-1})(\alpha \pm \alpha_{-2})}.$$

При этом $K_+(\alpha) = K_-(-\alpha)$.

Разделим уравнение (2.6) на $K_+(\alpha)$, после преобразований получим

$$F_-(\alpha)K_-(\alpha) - \frac{i e^{i\alpha x^*}(\beta\alpha^4 - d)}{\text{ch}(\alpha H)K_2(\alpha)K_+(\alpha)} = \frac{D_+(\alpha)}{K_+(\alpha)}. \quad (2.7)$$

Используя представление

$$\frac{e^{i\alpha x^*}(\beta\alpha^4 - d)}{\text{ch}(\alpha H)K_2(\alpha)K_+(\alpha)} = L_+(\alpha) + L_-(\alpha),$$

где

$$\begin{aligned} L_{\pm}(\alpha) = \pm \frac{1}{2\pi i} \int_{-\infty \mp i\sigma}^{\infty \mp i\sigma} \frac{e^{i\zeta x^*}(\beta\zeta^4 - d)}{\text{ch}(\zeta H)K_2(\zeta)K_+(\zeta)(\zeta - \alpha)} d\zeta = \\ = \pm \frac{1}{2\pi i} \int_{-\infty \mp i\sigma}^{\infty \mp i\sigma} \frac{e^{i\zeta x^*}(\beta\zeta^4 - d)K_-(\zeta)}{\text{ch}(\zeta H)K_1(\zeta)(\zeta - \alpha)} d\zeta, \quad \sigma < \min \{|\gamma_1|, c\}, \quad (2.8) \end{aligned}$$

уравнение (2.7) запишем в виде

$$K_-(\alpha)F_-(\alpha) - iL_-(\alpha) = D_+(\alpha)/K_+(\alpha) + iL_+(\alpha).$$

В левой части этого равенства имеем функцию, аналитическую в области S_- , а в правой — аналитическую в S_+ . Аналитическим продолжением можно определить функцию, аналитическую во всей комплексной плоскости. Согласно теореме Лиувилля эта функция является полиномом. Степень полинома определяется поведением функций при $|\alpha| \rightarrow \infty$.

Из условия локальной ограниченности энергии следует, что вблизи кромки пластины скорости имеют особенность, порядок которой не выше $O(r^{-\lambda})$ ($\lambda < 1$, r — расстояние до кромки пластины). Тогда функция $F_-(\alpha)$ при $|\alpha| \rightarrow \infty$ имеет порядок не выше $O(|\alpha|^{\lambda+3})$, а $D_+(\alpha)$ — не выше $O(|\alpha|^{\lambda-1})$ [7]. Функции $K_{\pm}(\alpha)$ имеют на бесконечности порядок $O(|\alpha|^{-2})$, так как $g^{\pm}(\alpha) \rightarrow 1$ при $|\alpha| \rightarrow \infty$. Легко показать, что $|L_{\pm}(\alpha)| = O(|\alpha|^{-1})$ при $|\alpha| \rightarrow \infty$. Следовательно, степень полинома равна единице и

$$D_+(\alpha)/K_+(\alpha) + iL_+(\alpha) = i(a + b\alpha), \quad (2.9)$$

где a и b — неизвестные константы, которые будем определять из условий (1.6).

Выражая $D_+(\alpha)$ из соотношения (2.9), с учетом (2.3) и (2.4) находим

$$\Phi(\alpha, y) = iZ(\alpha, y)\{K_+(\alpha)[a + b\alpha - L_+(\alpha)] + e^{i\alpha x_*}[\operatorname{ch}(\alpha H) - \operatorname{sh}(\alpha H)/\alpha]\}/K_1(\alpha) - \\ - i e^{i\alpha x_*} \operatorname{sh}(\alpha(y + H))/\alpha.$$

С помощью обратного преобразования Фурье потенциал ϕ выражается в виде

$$\phi(x, y) = -\frac{1}{2\pi i} \int_{-\infty}^{\infty} \frac{e^{-i\alpha x} K_+(\alpha)[a + b\alpha - L_+(\alpha)]Z(\alpha, y)}{K_1(\alpha)} d\alpha - \\ - \frac{1}{2\pi i} \int_{-\infty}^{\infty} \frac{e^{-i\alpha(x-x_*)}[\operatorname{ch}(\alpha H) - \operatorname{sh}(\alpha H)/\alpha]Z(\alpha, y)}{K_1(\alpha)} d\alpha + \\ + \frac{1}{2\pi i} \int_{-\infty}^{\infty} \frac{e^{-i\alpha(x-x_*)} \operatorname{sh}(\alpha(y + H))}{\alpha} d\alpha. \quad (2.10)$$

Контур интегрирования должен быть выбран таким образом, чтобы он полностью лежал в пересечении областей S_+ и S_- . Можно выбрать контур интегрирования на действительной оси, обходя точки α_0 и γ снизу, а точки $-\alpha_0$ и $-\gamma$ — сверху.

Для производной потенциала на действительной оси получаем выражение

$$\frac{\partial \varphi}{\partial y}(x, 0) = -\frac{1}{2\pi i} \int_{-\infty}^{\infty} \frac{e^{-i\alpha x} K_+(\alpha)[a + b\alpha - L_+(\alpha)]\alpha \operatorname{th}(\alpha H)}{K_1(\alpha)} d\alpha - \\ - \frac{1}{2\pi i} \int_{-\infty}^{\infty} \frac{e^{-i\alpha(x-x_*)}}{\operatorname{ch}(\alpha H)K_1(\alpha)} d\alpha. \quad (2.11)$$

В первом интеграле умножим числитель и знаменатель на $K_-(\alpha)$, после преобразований получаем выражение для производной потенциала в виде

$$\frac{\partial \varphi}{\partial y}(x, 0) = -\frac{1}{2\pi i} \int_{-\infty}^{\infty} \frac{e^{-i\alpha x}[a + b\alpha + L_-(\alpha)]\alpha \operatorname{th}(\alpha H)}{K_-(\alpha)K_2(\alpha)} d\alpha - \frac{1}{2\pi i} \int_{-\infty}^{\infty} \frac{e^{-i\alpha(x-x_*)}}{\operatorname{ch}(\alpha H)K_2(\alpha)} d\alpha. \quad (2.12)$$

Интеграл будем вычислять с помощью теории вычетов. На пластине при $x > 0$ имеем

$$\frac{\partial \varphi}{\partial y}(x, 0) = \sum_{j=-2}^{\infty} \frac{e^{i\alpha_j x} \alpha_j \operatorname{th}(\alpha_j H) [a - b\alpha_j + L_-(\alpha_j)]}{K_-(\alpha_j) K_2'(\alpha_j)} - \sum_{j=-2}^{\infty} \frac{e^{i\alpha_j |x-x_*|}}{\operatorname{ch}(\alpha_j H) K_2'(\alpha_j)}. \quad (2.13)$$

Из дисперсионного соотношения под пластиной имеем

$$\alpha_j \operatorname{th}(\alpha_j H) = -K_1(\alpha_j) / (\beta\alpha_j^4 - d).$$

Подставляя это выражение в формулу (2.13) и затем в краевые условия (1.6), получим систему линейных алгебраических уравнений второго порядка для определения неизвестных a, b

$$\begin{pmatrix} A_{11} & A_{12} \\ A_{21} & A_{22} \end{pmatrix} \begin{pmatrix} a \\ b \end{pmatrix} = \begin{pmatrix} C_1 \\ C_2 \end{pmatrix}. \quad (2.14)$$

Согласно теореме о вычетах коэффициенты системы можно записать в виде

$$\begin{aligned} A_{11} &= \sum_{k=1}^4 \operatorname{res}_{z_k} \left(\frac{\alpha^2 K_+(\alpha)}{\beta\alpha^4 - d} \right), & A_{12} &= A_{21}, \\ A_{21} &= \sum_{k=1}^4 \operatorname{res}_{z_k} \left(\frac{\alpha^3 K_+(\alpha)}{\beta\alpha^4 - d} \right), & A_{22} &= \sum_{k=1}^4 \operatorname{res}_{z_k} \left(\frac{\alpha^4 K_+(\alpha)}{\beta\alpha^4 - d} \right), \\ C_1 &= - \sum_{k=1}^4 \operatorname{res}_{z_k} \left(\frac{\alpha^2 K_+(\alpha) L_-(\alpha)}{\beta\alpha^4 - d} \right), & C_2 &= - \sum_{k=1}^4 \operatorname{res}_{z_k} \left(\frac{\alpha^3 K_+(\alpha) L_-(\alpha)}{\beta\alpha^4 - d} \right), \end{aligned}$$

где z_k — корни полинома $\beta\alpha^4 - \delta = 0$. Из (2.8) находим

$$L_+(\alpha) = \begin{cases} \sum_{j=-2}^{\infty} \frac{e^{i\alpha_j x_*} (\beta\alpha_j^4 - d)}{\operatorname{ch}(\alpha_j H) K_2'(\alpha_j) K_+(\alpha_j) (\alpha_j - \alpha)} + \frac{e^{i\alpha x_*} (\beta\alpha^4 - d)}{\operatorname{ch}(\alpha H) K_2(\alpha) K_+(\alpha)}, & x_* > 0, \alpha \neq \alpha_j, \\ - \sum_{k=0}^{\infty} \frac{e^{-i\gamma_k x_*} (\beta\gamma_k^4 - d) K_+(\gamma_k)}{\operatorname{ch}(\gamma_k H) K_1'(\gamma_k) (\gamma_k + \alpha)}, & x_* < 0, \end{cases}$$

$$L_-(\alpha) = \begin{cases} - \sum_{j=-2}^{\infty} \frac{e^{i\alpha_j x_*} (\beta\alpha_j^4 - d)}{\operatorname{ch}(\alpha_j H) K_2'(\alpha_j) K_+(\alpha_j) (\alpha_j - \alpha)}, & x_* > 0, \\ \sum_{k=0}^{\infty} \frac{e^{-i\gamma_k x_*} (\beta\gamma_k^4 - d) K_+(\gamma_k)}{\operatorname{ch}(\gamma_k H) K_1'(\gamma_k) (\gamma_k + \alpha)} + \frac{e^{i\alpha x_*} (\beta\alpha^4 - d) K_-(\alpha)}{\operatorname{ch}(\alpha H) K_1(\alpha)}, & x_* < 0, \alpha \neq -\gamma_k. \end{cases}$$

Коэффициенты системы преобразуются:

$$\begin{aligned} A_{11} &= \sum_{k=1}^4 \frac{K_+(z_k)}{z_k}, & A_{12} &= A_{21} = \sum_{k=1}^4 K_+(z_k), & A_{22} &= \sum_{k=1}^4 z_k K_+(z_k), \\ C_1 &= - \sum_{k=1}^4 \frac{K_+(z_k) L_-(z_k)}{z_k}, & C_2 &= - \sum_{k=1}^4 K_+(z_k) L_-(z_k). \end{aligned}$$

Определив из системы (2.14) коэффициенты a, b , подставим их в формулы (2.10)–(2.12) и найдем все необходимые величины.

Прогиб пластины определяется из (1.1) соотношением $w(x) = i\varphi_y(x, 0)$ и выражением (2.13). Второй член в (2.13) представляет собой волны, идущие от точки возмущения, и совпадает с выражением для прогиба бесконечной пластины, а первый член в (2.13) — волны, отраженные от края. Возвышение свободной границы $\eta(x)$ имеет вид

$$\eta(x) = -i \sum_{k=0}^{\infty} \frac{e^{-i\gamma_k x} K_+(\gamma_k) [a + b\gamma_k - L_+(\gamma_k)]}{K_1'(\gamma_k)} - i \sum_{k=0}^{\infty} \frac{e^{i\gamma_k |x-x_*|}}{\operatorname{ch}(\gamma_k H) K_1'(\gamma_k)}.$$

При $x_* > 0$ получаем следующие формулы для прогиба пластины и возвышения свободной границы:

$$w(x) = -i \sum_{j=-2}^{\infty} \frac{e^{i\alpha_j x} \alpha_j \operatorname{th}(\alpha_j H)}{K_+(\alpha_j) K_2'(\alpha_j)} \left[a - b\alpha_j - \sum_{m=-2}^{\infty} \frac{e^{i\alpha_m x_*} (\beta\alpha_m^4 - d)}{\operatorname{ch}(\alpha_m H) K_2'(\alpha_m) K_+(\alpha_m) (\alpha_m + \alpha_j)} \right] - i \sum_{j=-2}^{\infty} \frac{e^{i\alpha_j |x-x_*|}}{\operatorname{ch}(\alpha_j H) K_2'(\alpha_j)}, \quad (2.15)$$

$$\eta(x) = -i \sum_{k=0}^{\infty} \frac{e^{-i\gamma_k x} K_+(\gamma_k)}{K_1'(\gamma_k)} \left[a + b\gamma_k - \sum_{m=-2}^{\infty} \frac{e^{i\alpha_m x_*} (\beta\alpha_m^4 - d)}{\operatorname{ch}(\alpha_m H) K_2'(\alpha_m) K_+(\alpha_m) (\alpha_m - \gamma_k)} \right].$$

При $x_* < 0$ аналогичные формулы имеют вид

$$w(x) = -i \sum_{j=-2}^{\infty} \frac{e^{i\alpha_j x} \alpha_j \operatorname{th}(\alpha_j H)}{K_+(\alpha_j) K_2'(\alpha_j)} \left[a - b\alpha_j + \sum_{k=0}^{\infty} \frac{e^{-i\gamma_k x_*} (\beta\gamma_k^4 - d) K_+(\gamma_k)}{\operatorname{ch}(\gamma_k H) K_1'(\gamma_k) (\gamma_k - \alpha_j)} \right],$$

$$\eta(x) = -i \sum_{k=0}^{\infty} \frac{e^{-i\gamma_k x} K_+(\gamma_k)}{K_1'(\gamma_k)} \left[a + b\gamma_k + \sum_{m=0}^{\infty} \frac{e^{-i\gamma_m x_*} (\beta\gamma_m^4 - d) K_+(\gamma_m)}{\operatorname{ch}(\gamma_m H) K_1'(\gamma_m) (\gamma_m + \gamma_k)} \right] - i \sum_{k=0}^{\infty} \frac{e^{i\gamma_k |x-x_*|}}{\operatorname{ch}(\gamma_k H) K_1'(\gamma_k)}. \quad (2.16)$$

Вторая сумма в выражениях (2.15), (2.16) представляет собой возмущение от источника, а первая сумма — возмущение, отраженное от кромки.

3. Решение без учета инерционного члена. Согласно сделанным предположениям $d \ll 1$. Поэтому в уравнении (1.5) параметром d можно пренебречь. При $d = 0$ решение задачи можно получить в явном виде, а именно

$$A_{11} = K_+'(0), \quad A_{12} = A_{21} = K_+(0), \quad A_{22} = 0,$$

$$C_1 = -(K_+(0)L_-(0))', \quad C_2 = -K_+(0)L_-(0).$$

Тогда имеем

$$a = -L_-(0) = \begin{cases} \beta \sum_{j=-2}^{\infty} \frac{e^{i\alpha_j x_*} \alpha_j^3}{\operatorname{ch}(\alpha_j H) K_2'(\alpha_j) K_+(\alpha_j)}, & x_* > 0, \\ -\beta \sum_{k=0}^{\infty} \frac{e^{-i\gamma_k x_*} K_+(\gamma_k) \gamma_k^3}{\operatorname{ch}(\gamma_k H) K_1'(\gamma_k)}, & x_* < 0, \end{cases}$$

$$b = -L_-'(0) = \begin{cases} \sum_{j=-2}^{\infty} \frac{e^{i\alpha_j x_*} \alpha_j^2}{\operatorname{ch}(\alpha_j H) K_2'(\alpha_j) K_+(\alpha_j)}, & x_* > 0, \\ \sum_{k=0}^{\infty} \frac{e^{-i\gamma_k x_*} K_+(\gamma_k) \gamma_k^2}{\operatorname{ch}(\gamma_k H) K_1'(\gamma_k)}, & x_* < 0. \end{cases}$$

При $x_* > 0$ получаем

$$w(x) = i\beta \sum_{j=-2}^{\infty} \frac{e^{i\alpha_j x} \alpha_j^3 \operatorname{th}(\alpha_j H)}{K_+(\alpha_j) K_2'(\alpha_j)} \sum_{m=-2}^{\infty} \frac{e^{i\alpha_m x_*} \alpha_m^2}{\operatorname{ch}(\alpha_m H) K_2'(\alpha_m) K_+(\alpha_m) (\alpha_m + \alpha_j)} -$$

$$- i \sum_{j=-2}^{\infty} \frac{e^{i\alpha_j |x-x_*|}}{\operatorname{ch}(\alpha_j H) K_2'(\alpha_j)},$$

$$\eta(x) = i\beta \sum_{k=0}^{\infty} \frac{e^{-i\gamma_k x} \gamma_k^2 K_+(\gamma_k)}{K_1'(\gamma_k)} \sum_{m=-2}^{\infty} \frac{e^{i\alpha_m x_*} \alpha_m^2}{\operatorname{ch}(\alpha_m H) K_2'(\alpha_m) K_+(\alpha_m) (\alpha_m - \gamma_k)}.$$

При $x_* < 0$ эти формулы имеют вид

$$w(x) = -i\beta \sum_{j=-2}^{\infty} \frac{e^{i\alpha_j x} \alpha_j^3 \operatorname{th}(\alpha_j H)}{K_+(\alpha_j) K_2'(\alpha_j)} \sum_{k=0}^{\infty} \frac{e^{-i\gamma_k x_*} \gamma_k^2 K_+(\gamma_k)}{\operatorname{ch}(\gamma_k H) K_1'(\gamma_k) (\gamma_k - \alpha_j)},$$

$$\eta(x) = -i\beta \sum_{k=0}^{\infty} \frac{e^{-i\gamma_k x} \gamma_k^2 K_+(\gamma_k)}{K_1'(\gamma_k)} \sum_{m=0}^{\infty} \frac{e^{-i\gamma_m x_*} K_+(\gamma_m) \gamma_m^2}{\operatorname{ch}(\gamma_m H) K_1'(\gamma_m) (\gamma_m + \gamma_k)} - i \sum_{k=0}^{\infty} \frac{e^{i\gamma_k |x-x_*|}}{\operatorname{ch}(\gamma_k H) K_1'(\gamma_k)}.$$

Рассмотрим теперь общий случай колебаний дна. В этом случае, умножая полученное решение на $u(x_*)$ и интегрируя по x_* , находим все интересующие нас величины. Решение представляется суммой двух слагаемых, соответствующих участкам дна под пластиной и вне пластины $w(x) = w_1(x) + w_2(x)$, $\eta(x) = \eta_1(x) + \eta_2(x)$, где $w_1(x)$ и $\eta_1(x)$ — комплексные амплитуды колебаний пластины и свободной поверхности при колебаниях дна по закону

$$w(x, -H_0, t) = \begin{cases} 0, & x < 0, \\ u(x) e^{-i\omega t}, & x > 0, \end{cases}$$

а $w_2(x)$ и $\eta_2(x)$ — при колебаниях дна по закону

$$w(x, -H_0, t) = \begin{cases} u(x) e^{-i\omega t}, & x < 0, \\ 0, & x > 0; \end{cases}$$

$$w_1(x) = i\beta \sum_{j=-2}^{\infty} \frac{e^{i\alpha_j x} \alpha_j^3 \operatorname{th}(\alpha_j H)}{K_+(\alpha_j) K_2'(\alpha_j)} \sum_{m=-2}^{\infty} \frac{A_m \alpha_m^2}{\operatorname{ch}(\alpha_m H) K_2'(\alpha_m) K_+(\alpha_m) (\alpha_m + \alpha_j)} -$$

$$- i \sum_{j=-2}^{\infty} \frac{\tilde{A}_j(x)}{\operatorname{ch}(\alpha_j H) K_2'(\alpha_j)},$$

$$\eta_1(x) = i\beta \sum_{k=0}^{\infty} \frac{e^{-i\gamma_k x} K_+(\gamma_k) \gamma_k^2}{K_1'(\gamma_k)} \sum_{m=-2}^{\infty} \frac{A_m \alpha_m^2}{\operatorname{ch}(\alpha_m H) K_2'(\alpha_m) K_+(\alpha_m) (\alpha_m - \gamma_k)},$$

$$w_2(x) = -i\beta \sum_{j=-2}^{\infty} \frac{e^{i\alpha_j x} \alpha_j^3 \operatorname{th}(\alpha_j H)}{K_+(\alpha_j) K_2'(\alpha_j)} \sum_{k=0}^{\infty} \frac{B_k \gamma_k^2 K_+(\gamma_k)}{\operatorname{ch}(\gamma_k H) K_1'(\gamma_k) (\gamma_k - \alpha_j)},$$

$$\eta_2(x) = -i\beta \sum_{k=0}^{\infty} \frac{e^{-i\gamma_k x} \gamma_k^2 K_+(\gamma_k)}{K_1'(\gamma_k)} \sum_{m=0}^{\infty} \frac{B_m K_+(\gamma_m) \gamma_m^2}{\operatorname{ch}(\gamma_m H) K_1'(\gamma_m) (\gamma_m + \gamma_k)} - i \sum_{k=0}^{\infty} \frac{\tilde{B}_k(x)}{\operatorname{ch}(\gamma_k H) K_1'(\gamma_k)},$$

где

$$\begin{aligned} \tilde{A}_j(x) &= \int_0^{\infty} e^{i\alpha_j|x-x_*|} u(x_*) dx_*, & A_j &= \int_0^{\infty} e^{i\alpha_j x_*} u(x_*) dx_*, \\ \tilde{B}_k(x) &= \int_{-\infty}^0 e^{-i\gamma_k|x-x_*|} u(x_*) dx_*, & B_k &= \int_{-\infty}^0 e^{-i\gamma_k x_*} u(x_*) dx_*. \end{aligned}$$

4. Численные результаты. Проведены численные расчеты для полубесконечной ледяной пластины в океане при следующих значениях параметров: $E = 6 \cdot 10^9 \text{ Н/м}^2$, $\rho = 1025 \text{ кг/м}^3$, $\rho_0 = 922,5 \text{ кг/м}^3$. Смещения дна задавались в виде [9]

$$u(x) = \cos^2(\pi(x - x_0)/(2s)),$$

где s — полуширина; x_0 — центр колеблющегося участка дна. Толщина пластины, глубина жидкости, а также частота, центр и полуширина области подвижного дна менялись.

Наибольший интерес представляет случай, когда участок колебаний дна расположен под пластиной. На рис. 1 показаны зависимости от частоты амплитуд уходящих волн в жидкости, в пластине, а также амплитуд колебаний пластины в кромке и в точке x_0 (эпицентре) при следующих значениях параметров: $x_0 = 1500 \text{ м}$, $s = 250 \text{ м}$, $h = 5 \text{ м}$, $H_0 = 200 \text{ м}$. Из графиков видно, что максимальные амплитуды колебаний наблюдаются при $\omega = 0,25 \div 0,3 \text{ с}^{-1}$. С ростом частоты все амплитуды уменьшаются, однако амплитуда в эпицентре остается достаточно большой.

На рис. 2 показано распределение амплитуд колебаний пластины при различных значениях частоты и тех же значениях остальных параметров (штриховая кривая соответствует бесконечной пластине). При малых частотах безразмерный параметр β мал, и пластина ведет себя как свободная поверхность жидкости, амплитуды колебаний пластины практически постоянны. С ростом частоты амплитуда колебаний в точке x_0 становится значительно большей, чем в остальных точках. При больших частотах колеблется только окрестность колеблющегося участка дна, амплитуды колебаний остальной части пластины малы. Влияние края невелико и проявляется только вблизи кромки пластины.

На рис. 3 представлено распределение амплитуд колебаний пластины при $\omega = 0,3 \text{ с}^{-1}$, $s = 250 \text{ м}$, $h = 5 \text{ м}$, $H_0 = 200 \text{ м}$ и различных положениях колеблющегося участка дна.

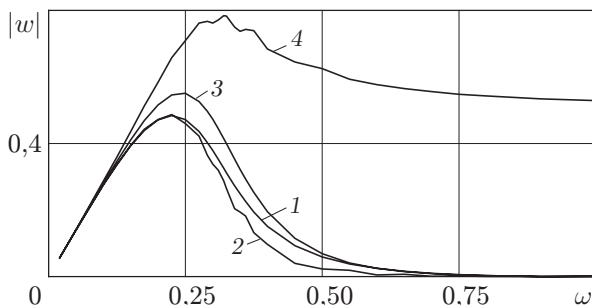


Рис. 1

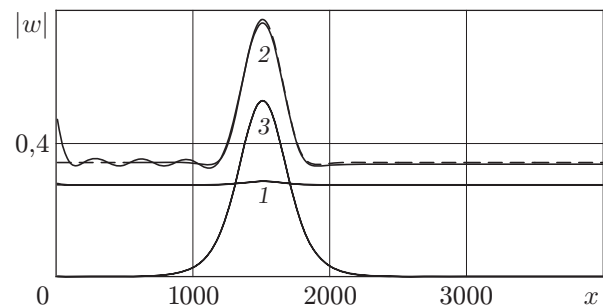


Рис. 2

Рис. 1. Зависимость от частоты амплитуд уходящих волн в жидкости (кривая 1) и пластине (кривая 2), а также амплитуд колебаний пластины в кромке (кривая 3) и эпицентре (кривая 4)

Рис. 2. Амплитуды колебаний пластины при различных значениях частоты: кривые 1–3 соответствуют значениям $0,1 \text{ с}^{-1}$; $0,3 \text{ с}^{-1}$; 1 с^{-1}

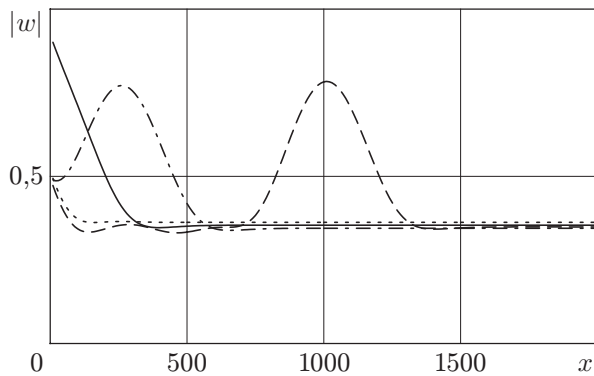


Рис. 3

Рис. 3. Влияние положения колеблющегося участка дна на амплитуды колебаний: сплошная кривая соответствует $x_0 = 0$, штриховая — $x_0 = 1000$ м, штрихпунктирная — $x_0 = 250$ м, пунктирная — $x_0 = -1000$ м

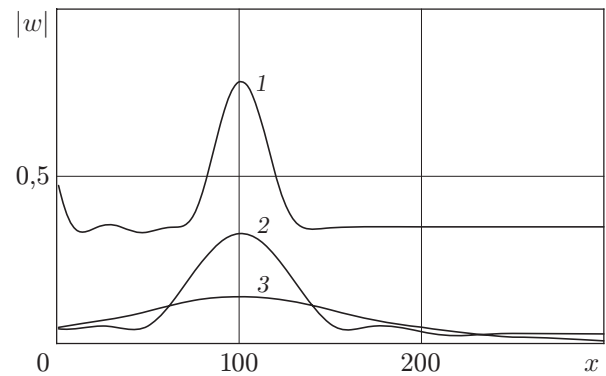


Рис. 4

Рис. 4. Влияние глубины жидкости на амплитуды колебаний пластины: кривые 1–3 соответствуют глубинам 200, 500 и 1000 м

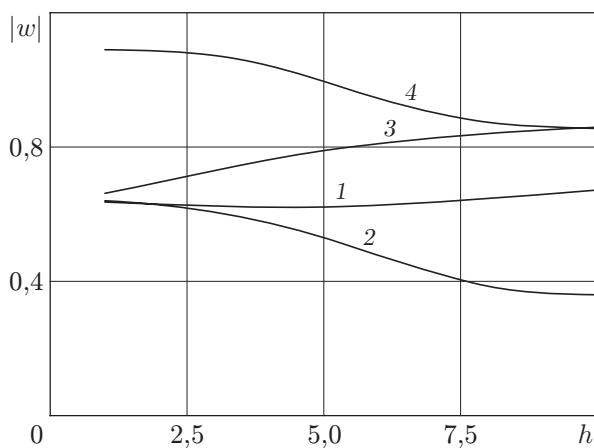


Рис. 5

Рис. 5. Влияние толщины пластины на амплитуды колебаний жидкости и пластины: кривые 1, 2 соответствуют амплитудам уходящей волны в жидкости и пластине, кривая 3 — амплитуде прогиба пластины в кромке, кривая 4 — в точке x_0

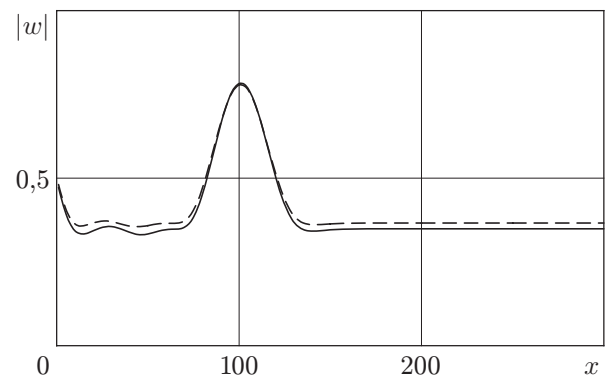


Рис. 6

Рис. 6. Сравнение точного (сплошная кривая) и приближенного (штриховая кривая) решений

Как видно из графиков, максимальные амплитуды колебаний достигаются над центром колеблющегося участка дна, когда он расположен под кромкой пластины.

С увеличением глубины амплитуды колебаний пластины уменьшаются, что видно из рис. 4, где представлены графики распределения амплитуд колебаний пластины при $\omega = 0,3 \text{ с}^{-1}$, $x_0 = 1000$ м, $s = 250$ м, $h = 5$ м и различных глубинах. С увеличением глубины кривые становятся более пологими.

На рис. 5 приведены графики зависимости амплитуд колебаний жидкости и пластины от толщины пластины при $\omega = 0,3 \text{ с}^{-1}$, $x_0 = 750$ м, $s = 250$ м, $h = 5$ м, $H_0 = 100$ м. При малой толщине пластины амплитуда в точке x_0 значительно больше, чем в кромке, а амплитуды уходящих волн в жидкости и пластине равны. С ростом толщины амплитуда в

эпицентре сравнивается с амплитудой в кромке, а амплитуда уходящей волны в жидкости становится значительно большей, чем в пластине.

Сравнение точного решения и решения без учета инерции пластины представлено на рис. 6 для $\omega = 0,3 \text{ с}^{-1}$, $x_0 = 1000 \text{ м}$, $s = 250 \text{ м}$, $h = 5 \text{ м}$ и $H_0 = 200 \text{ м}$. Обе кривые на рисунке близки друг другу. Это объясняется тем, что инерция пластины мала по сравнению с инерцией жидкости. Полученные результаты показывают, что явное решение без учета инерции пластины может успешно использоваться для оценки прогиба пластины.

ЛИТЕРАТУРА

1. **Хейсин Д. Е.** Динамика ледяного покрова. Л.: Гидрометеиздат, 1967.
2. **Squire V. A., Dugan J. P., Wadhams P., et al.** Of ocean waves and sea ice // Annu. Rev. Fluid Mech. 1995. V. 27. P. 115–168.
3. **Марченко А.** Изгибно-гравитационные волны // Динамика волн на поверхности жидкости: Тр. Ин-та общей физики РАН. М.: Наука, 1999. Т. 56. С. 65–111.
4. **Kashivagi M.** Research on hydroelastic responses of VLFS: recent progress and future work // J. Offshore and Polar Engng. 2000. V. 10, N 2. P. 81–90.
5. **Takamura H., Masuda K., Maeda H., Bessho M.** A study on the estimation of the seaquake response of a floating structure considering the characteristics of seismic wave propagation in the ground and the water // J. Marine Sci. and Technol. 2003. V. 7. P. 164–174.
6. **Нобл Б.** Применение метода Винера — Хопфа для решения дифференциальных уравнений в частных производных. М.: Изд-во иностр. лит., 1962.
7. **Гельфанд И. М., Шилов Г. Е.** Обобщенные функции и действия над ними. М.: Физматгиз, 1959.
8. **Fox C., Squire V. A.** Reflection and transmission characteristics at the edge of short fast sea ice // J. Geophys. Res. 1990. V. 95, N C7. P. 11.629–11.639.
9. **Черкесов Л. В.** Поверхностные и внутренние волны. Киев: Наук. думка, 1973.

Поступила в редакцию 18/VI 2004 г.